

ВЫСОКОМОЛЕКУЛЯРНЫЕ

Том (A) XXII

СОЕДИНЕНИЯ

1980

№ 8

УДК 541.64:539.199

МОЛЕКУЛЯРНАЯ ДИНАМИКА ПОЛИМЕРНОЙ ЦЕПИ СО СШИВКОЙ

*Неелов И. М., Даринский А. А., Готлиб Ю. Я.,
Балабаев Н. К.*

Методом молекулярной динамики рассмотрено поведение полимерной цепи из жестких взаимодействующих звеньев с практически свободным внутренним вращением. В цепь введена одна слабодеформируемая спивка, длина которой равна длине звена. Рассмотрена конденсированная полимерная система при высокой температуре. Показано существование заметного торможения поступательной и вращательной подвижности спивки. Тормозящее действие спивки распространяется на небольшое число соседних элементов цепи (1 звено для ориентационной подвижности и 4–8 звеньев для поступательной подвижности). Результаты численного эксперимента сопоставлены с аналитическим расчетом для вязкоупругой модели субцепей со спивкой и экспериментальными данными по поляризованной люминесценции с меткой, входящей в спивку. Рассчитаны зависимости некоторых средних динамических характеристик спитых систем от мольной доли спивок.

Изучение структуры и релаксационных свойств спитых полимерных систем включает анализ локальной подвижности самих узлов (или мостиков), образуемых спивающим агентом, и звеньев цепей в спитой полимерной системе. В настоящее время релаксационные свойства спитых систем изучаются при помощи ряда методов: ЯМР, диэлектрической релаксации, поляризованной люминесценции. В частности, ориентационную подвижность спивок можно изучать при помощи «меточных» экспериментов (поляризованной люминесценции, ЭПР), если ввести метку непосредственно в мостик, образованный спивающим агентом [1]. В ряде работ [2, 3] было показано, что существует сильная зависимость внутримолекулярной подвижности в спитых полимерных системах от степени их спшивания. В связи с этим возникает вопрос о механизме влияния спивок на подвижность. Спивка может оказывать тормозящее действие на локальную подвижность элементов цепи как за счет кинематической и динамической связи вдоль цепи, так и за счет изменения локального окружения элемента цепи вблизи узла в набухшем спитом полимере. Для установления относительной роли этих и других возможных механизмов необходимо оценить степень торможения спивки и масштаб действия кинематических и динамических ограничений, накладываемых спивкой на подвижность элементов цепи.

Подвижность спивки по сравнению с подвижностью участков цепей, не входящих в спивку, масштаб и величина ограничений, накладываемых ею на локальную подвижность элементов цепи, будут зависеть от структуры и длины спивки, ее гибкости, термодинамической и кинетической гибкости спиваемых цепей.

В настоящей работе рассматривается простая модель цепи из жестких взаимодействующих звеньев со слабо заторможенным внутренним вращением. В цепь введена спивка, длина которой равна длине жесткого звена цепи (рис. 1). Движение цепи со спивкой происходит при высокой степени заполнения объема звеньями полимерных цепей, близкой к степени заполнения для аморфного полимера. Исследование локальной подвижности та-

кой системы проводится методом молекулярной динамики, который ранее применяли только для изучения линейных полимерных цепей [4–6]. Численные эксперименты, проводимые на ЭВМ методом молекулярной динамики, заключаются в решении системы уравнений движения для всех частиц цепи с учетом ограничений, накладываемых спшивкой и жесткими связями, соединяющими соседние частицы цепи. Алгоритм расчета подробно изложен в работе [4], модель цепи и параметры взаимодействия выбраны

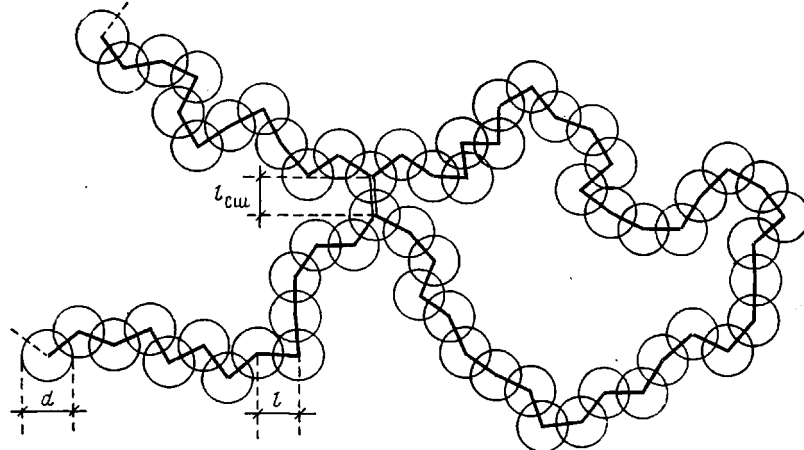


Рис. 1. Модель цепи со спшивкой:
 $l_{\text{сп}}=0,69 \sigma$ — длина спшивки, равная длине связи l , $d=1,12 \sigma$ — «диаметр» частицы цепи, определяемый по минимуму потенциала Леннарда — Джонса (σ — параметр потенциала Леннарда — Джонса $U(\sigma)=0$)

такими же, как в работах [5, 6]. Как и в работе [5], рассматривалась цепь, состоящая из $N_1=123$ частиц. Потенциальная энергия взаимодействия задается парным потенциалом Леннарда — Джонса

$$U(r)=4\epsilon_0[(\sigma/r)^{12}-(\sigma/r)^6], \quad (1)$$

где ϵ_0 и σ — параметры потенциала, r — расстояние между двумя частицами.

Соседние частицы соединены жесткими связями с длиной $l=0,69\sigma$. При таком выборе длины l средний угол между соседними связями близок к тетраэдрическому. Рассматривалась цепочка с одной слабодеформируемой спшивкой со средней длиной, равной длине жесткой связи l . Для спшивания выбирали пару удаленных друг от друга по цепи частиц, которые оказывались рядом в начальной конфигурации. Между ними задавался дополнительный «спивающий» потенциал

$$U(r)=K\epsilon_0(r^2-l^2)^2, \quad (2)$$

где r — расстояние между частицами спшивки, параметр K характеризует жесткость спшивки.

Величина параметра K была выбрана такой, чтобы отклонение длины спшивки от среднего значения l не превышало 10–15 %. Численные эксперименты проводились при различных значениях параметра K ($K=9, 18, 36$). В рассмотренном интервале K результаты практически не зависели от жесткости спшивки (при данной длине спшивки). Варьировалась также длина петли, образующейся при возникновении спшивки. Систематической зависимости результатов численных экспериментов от длины петли также не наблюдалось. Как и в работах [5, 6] высокая степень заполнения (0,82 от максимально плотной упаковки) достигалась наложением периодических граничных условий. В данной работе численные эксперименты проводили при температуре системы $T/T_0=3,3$ ($T_0=\epsilon_0/k$, где k — постоянная Больцмана).

Изучали поступательную диффузионную и ориентационную подвижность частиц цепи и сшивки. Для характеристики поступательной подвижности рассчитывали средние квадраты смещений частиц цепи и сшивки $\langle \Delta r^2(t) \rangle = \langle (\mathbf{r}(0) - \mathbf{r}(t))^2 \rangle$ за время $t \ll t_{\text{ч.э.}}^*$ (здесь $\mathbf{r}(0)$ и $\mathbf{r}(t)$ — координаты частицы в момент $t=0$ и t соответственно). Для характеристики локальной ориентационной подвижности рассчитывали временные зависимости величин

$$P_1(t) = \langle \cos \theta(t) \rangle, \quad (3)$$

$$P_2(t) = \frac{3}{2} \left\langle \cos^2 \theta - \frac{1}{3} \right\rangle, \quad (4)$$

где $\theta(t)$ — угол поворота вектора направленного вдоль звена цепи или сшивки. Здесь и далее скобки $\langle \rangle$ означают усреднение по всему времени счета $t_{\text{ч.э.}}$.

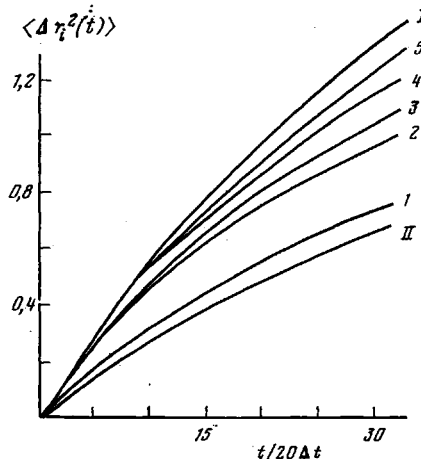


Рис. 2

Рис. 2. Зависимость среднего квадрата смещения $\langle \Delta r_i^2(t) \rangle$ для частиц цепи и центра сшивки от времени

Количество связей, отделяющих данную частицу от узла, $i=0$ (1), 1 (2), 2 (3), 3 (4) и 8 (5); I — смещение частицы несшитой цепи, II — смещение для центра сшивки

Рис. 3. Зависимость логарифма корреляционных функций угла поворота $\ln P_{1,2}^{(i)}(t)$ элементов цепи, удаленных от сшивки на i звеньев, от времени. Для $P_1(t)$ (A) и $P_2(t)$ (B) $i=0$ ($1, 1'$); 1 ($2, 2'$); 2 ($3, 3'$); 3 ($4, 4'$) и $i=\infty$ ($5, 5'$)

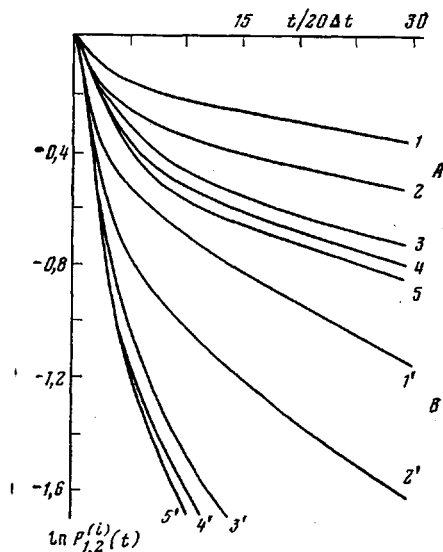


Рис. 3

Поступательная подвижность. Данные численного эксперимента по поступательной подвижности частиц цепи и центра сшивки, приведенные на рис. 2, свидетельствуют о существовании четко выраженной криволинейной временной зависимости среднего квадрата смещения $\langle \Delta r^2(t) \rangle$. Этот результат находится в качественном соответствии с предсказаниями аналитической теории [7, 8] для поступательной диффузии выделенного элемента в отдельной неразветвленной цепи на вязкоупругой модели из невзаимодействующих элементов. Подобная зависимость отвечает последовательному вовлечению в диффузионное движение все больших участков цепи, примыкающих к выделенной частице. Как следует из численного эксперимента, наиболее медленно движутся частицы, входящие в сшивку. По мере увеличения расстояния по цепи до сшивки зависимость $\langle \Delta r^2(t) \rangle$ частиц цепи приближается к зависимости для частиц несшитой цепочки. На-

* Подстрочный индекс ч.э. — численный эксперимент.

пример, уже для шестой от спивки частицы $\langle \Delta r_6^2(t) \rangle \approx 0,9 \langle \Delta r_{\text{cb}}^2(t) \rangle$ (где $\langle \Delta r_i^2(t) \rangle$ и $\langle \Delta r_{\text{cb}}^2(t) \rangle$ — средние квадраты смещений для шестой частицы от спивки и частицы неспивкой цепи соответственно).

С целью получения выражения для среднего квадрата смещения спивки $\langle \Delta r_{\text{n}}^2(t) \rangle$ были использованы результаты численного эксперимента по поступательной диффузии частиц, выходящих в спивку $\langle \Delta r_0^2(t) \rangle$ и врача-

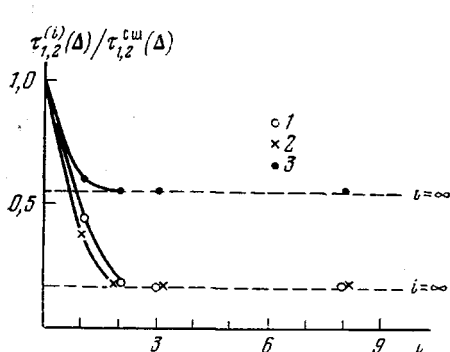


Рис. 4

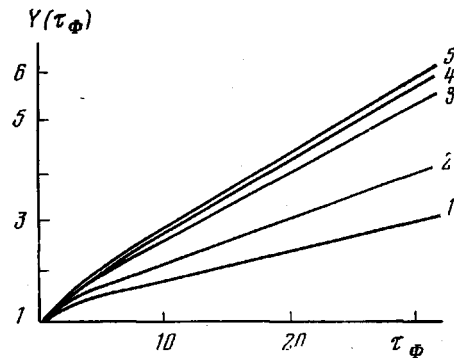


Рис. 5

Рис. 4. Зависимость отношений времен релаксации элементов цепи, удаленных от спивки на i звеньев, к временам релаксации спивки
Времена релаксации $\tau_{1,2}(\Delta)$ определены по спаду логарифма соответствующей автокорреляционной функции $\ln P_{1,2}(t)$ на величину Δ : 1 — $\tau_1^{(i)}(0,4)/\tau_1^{\text{ш}}(0,4)$, 2 — $\tau_2^{(i)}(1)/\tau_2^{\text{ш}}(1)$, 3 — $\tau_2^{(i)}(0,4)/\tau_2^{\text{ш}}(0,4)$

Рис. 5. Зависимость приведенной обратной поляризации люминесценции $Y = \frac{1/P + 1/3}{1/P_0 + 1/3}$ от τ_{Φ} для спивки ($i=0$ (1)) и элементов цепи, удаленных от спивки на $i=1$ (2), 2 (3), 3 (4) и $i=8$ и $i=\infty$ (5)

тельной диффузии самого мостика-спивки $P_1(t)$. $\langle \Delta r_{\text{n}}^2(t) \rangle$ выражается через $\langle r_0^2(t) \rangle$ и $P_1(t)$ следующим образом:

$$\langle \Delta r_{\text{n}}^2(t) \rangle = \langle \Delta r_0^2(t) \rangle + \frac{1}{2} l^2 (P_1(t) - 1) \quad (5)$$

Для сопоставления с результатами численного эксперимента в приложении на модели гауссовых субцепей со спивкой получена временная зависимость среднего квадрата смещения центра спивки $\langle \Delta r_{\text{n}}^2(t) \rangle$, являющаяся обобщением соответствующего вывода для диффузии звена цепи без спивки [7, 8].

Вращательная подвижность. При исследовании вращательной подвижности элементов цепи основная задача состояла, как и при изучении поступательной подвижности, в установлении масштаба действия узла. На рис. 3 представлены временные зависимости $\ln P_1(t)$ и $\ln P_2(t)$ для спивки и для элементов цепи, по разному удаленных от спивки. Видно, что все зависимости $\ln P_1(t)$ нелинейные, что указывает на существование спектра времен релаксации. Между зависимостями $P_1(t)$ и $P_2(t)$ в изученном интервале времени наблюдается связь $P_2(t) = P_1^3(t)$, как и для ориентационной релаксации отдельного жесткого звена в вязкой жидкости [9] и жесткого звена в цепи без спивки [6].

Вращательная подвижность спивки заметно ограничена по сравнению с подвижностью звеньев цепи, однако влияние спивки на соседние звенья (зависимости $\ln P_1^{(i)}(t)$ и $\ln P_2^{(i)}(t)$, где i — номера элементов цепи, считая от узла) быстро убывает с удалением от узла. Для количественной характеристики вращательной подвижности можно ввести характерное

время релаксации $\tau_{1,2}^{(i)}$ — время убыли соответствующей функции $\ln P_1^{(i)}(t)$ или $\ln P_2^{(i)}(t)$ на величину Δ . Поскольку за время счета корреляторов (3, 4) $t \leq t_{\text{коп}}$ величина $\ln P_i^0(t)$ для швивки спадает только на $\Delta=0,4$, то для характеристики спада $\ln P_2^{(i)}(t)$ выбрано время $\tau_1^{(i)}(0,4)$. $\ln P_2^{(i)}(t)$ спадает со временем существенно быстрее, поэтому для его характеристики можно пользоваться также обычным временем спада функции в e раз $\tau_2^{(i)}(1)$.

На рис. 4 представлены значения $\tau_1^{(i)}(0,4)$, $\tau_2^{(i)}(0,4)$, $\tau_2^{(i)}(1)$ для швивки и близких к ней по цепи звеньев. В рассматриваемом интервале изменения $P_1^{(i)}(t)$ и $P_2^{(i)}(t)$ влияние узла на ориентационную подвижность проявляется только для непосредственно примыкающих к швивке звеньев ($i=1$). Уже для следующих по цепи ($i=2$) звеньев ориентационная подвижность практически та же, что и для звеньев цепи в отсутствие швивки.

Таким образом, введение мостика, длина которого близка к длине жесткого участка цепи, оказывает заметное влияние на локальные диффузионные и релаксационные свойства частиц цепи, близких к швивке. Подвижность самой швивки существенно отличается от подвижности частиц цепи. Так, средний квадрат смещения центра мостика-швивки в 2 раза меньше, чем частицы, удаленной по цепи от швивки. Такой же результат получается и в модели гауссовых субцепей для швивки, соединяющей две цепи (приложение, уравнение (16)). Вращательная диффузионная подвижность мостика-швивки еще сильнее отличается от подвижности звеньев цепи. Времена $\tau_1^{(0)}(0,4)$ и $\tau_2^{(0)}(1,0)$ почти в 6 раз больше соответствующих времен для звеньев цепи без швивки $\tau_1^{(\text{cb})}(0,4)$ и $\tau_2^{(\text{cb})}(1,0)$.

Для начального участка зависимости $P_2(t)$ различие несколько меньше $\tau_2^{(0)}(0,4)/\tau_2^{(\text{cb})}(0,4) \approx 2$. Различие ориентационной подвижности мостика и звеньев свободной цепи может быть экспериментально установлено в меточных динамических экспериментах, например, методом поляризованной люминесценции, если люминесцирующая метка включена в швивку мостик [1]. Зависимости $P_2^{(i)}(t)$, полученные в численном эксперименте, были использованы для расчета величины $Y = (1/P + 1/\beta)/(1/P_0 + 1/\beta)$, непосредственно измеряемой в экспериментах по поляризованной люминесценции (здесь $1/P$ — обратная поляризация, $1/P_0$ — обратная предельная поляризация). Как показывает теория [10]

$$Y = \frac{1}{\frac{1}{\tau_\Phi} \int_0^\infty e^{-t/\tau_\Phi} P_2(t) dt}, \quad (6)$$

где τ_Φ — время жизни осциллятора в возбужденном состоянии, t — время, $P_2(t)$ определено выражением (4). Обычно в экспериментах по поляризованной люминесценции получают зависимость Y от T/η (T — температура, η — вязкость растворителя). При этом из наклона прямолинейного участка кривой $Y(T/\eta)$ при больших T/η определяют характерное время τ_Φ . Аналогичная информация может быть получена и из зависимости $Y(\tau_\Phi)$ при фиксированном значении T/η .

На рис. 5 представлены полученные в численном эксперименте зависимости $Y(\tau_\Phi)$ для метки, включенной в швивку, и для меток, расположенных

ных в звеньях, по разному удаленных от узла вдоль цепи. Обычный экспериментальный интервал изменения от $Y=1$ до $Y=5-6$ [10]. В этом интервале полученные в численном эксперименте зависимости $Y(\tau_\phi)$ практически прямолинейны, за исключением небольшой начальной области. Наклоны прямолинейных участков $Y(\tau_\phi)$ для метки в сшивке и для метки, удаленной от сшивки, различаются в 2–3 раза. Таким образом, среднее «люминесцентное» время τ_w для сшивки будет в 2–3 раза больше, чем для метки в основной цепи. Полученное значение для соотношения времен близко к значениям, полученным для люминесцирующей метки в узлах спитой системы на основе ПММА [1].

Поскольку тормозящее влияние мостика распространяется и на звенья цепи, не включенные непосредственно в сшивку, наличие сшивок может проявляться и в локальных динамических характеристиках, усредненных по всему образцу. Зависимость времен релаксации элементов цепи, полученную в численном эксперименте для цепи с одной сшивкой, можно использовать для оценки зависимости некоторых усредненных характеристик локальной подвижности в сеточных системах от числа звеньев между узлами сетки или от мольной доли сшивок.

Предположим, что для участка цепи между сшивками зависимость локальной диффузионной подвижности элементов от расстояния до ближайшей сшивки такая же, как полученная в численном эксперименте для цепи с одной сшивкой. Тогда можно рассчитать для элемента цепи следующие усредненные характеристики: $\bar{\tau}_{1,2}$ – среднее время, $(1/\tau_{1,2})$ – среднее обратное, $\sqrt{\tau_2^2}$ – среднеквадратичное, $\tau_2^2/\bar{\tau}_2=\tau_w$ – среднее взвешенное время (здесь усреднение проводится по всем n элементам цепи, заключенным между сшивками, включая также и сам мостик с соответствующим весом). Величины $\bar{\tau}_2$ и $(1/\tau_2)$ связаны со временем спин-решеточной релаксации T_1 в ЯМР [2]. Действительно, при наличии распределения времен релаксации (корреляции) $G(\tau_2)$ выражение для $1/T_1$ имеет вид (см., например, [11]).

$$\frac{1}{T_1} = A \int_0^\infty \left(\frac{\tau_2}{1+(\omega_0\tau_2)^2} + \frac{4\tau_2}{1+(2\omega_0\tau_2)^2} \right) G(\tau_2) d\tau_2, \quad (7)$$

где A – константа, ω_0 – рабочая частота ЯМР. При достаточно высоких температурах, когда для основной области τ_2 выполняется условие $\tau_2 \ll 1/\omega_0$

$$\frac{1}{T_1} \sim \int_0^\infty G(\tau_2) \tau_2 d\tau_2 = \bar{\tau}_2, \quad (8)$$

наоборот, при низких температурах, когда $\tau_2 \gg 1/\omega_0$

$$\frac{1}{T_1} \sim \int_0^\infty \frac{G(\tau_2)}{\tau_2} d\tau_2 = \left(\frac{1}{\bar{\tau}_2} \right), \quad (9)$$

Величины $(1/\tau_2)$ и $\bar{\tau}_w$ могут быть также определены из экспериментов по поляризованной люминесценции соответственно из начального наклона $\left(\frac{\tau_\phi T}{\eta} \rightarrow 0 \right)$ и асимптотического поведения (при больших $\frac{\tau_\phi T}{\eta}$) кривых

зависимости обратной поляризации $1/P$ от T/η (T – температура, η – вязкость), если метки случайно распределены вдоль цепи.

На рис. 6 представлены зависимости этих величин от числа звеньев модельной цепи «между сшивками». Видно, что значения $(1/\tau_{1,2})$ быстрее всего выходят на уровень, отвечающий «неспшитой» цепи. Позднее всех

выходит на этот уровень величина τ_w . Заметное отличие (более чем в 2 раза) средних характеристик сшитой и несшитой цепи наблюдается при числе звеньев между сшивками $N < 3$ для $(1/\tau_{1,2})$, $N < 6$ для $\bar{\tau}_{1,2}$, $N < 8$ для $\sqrt{\tau_2^2}$ и $N < 15$ для τ_w . Для тетрафункционального узла мольная доля сшивок $v/c = 1/2N$, где N — число звеньев между сшивками, v — концентрация узлов, c — концентрация полимера. Тогда, например, увеличение $\bar{\tau}_2$ в 2 раза, рассчитанное по результатам численного эксперимента, произойдет при $v/c > 1,5\text{--}2,5\%$, а τ_w при $v/c > 0,6\text{--}1\%$.

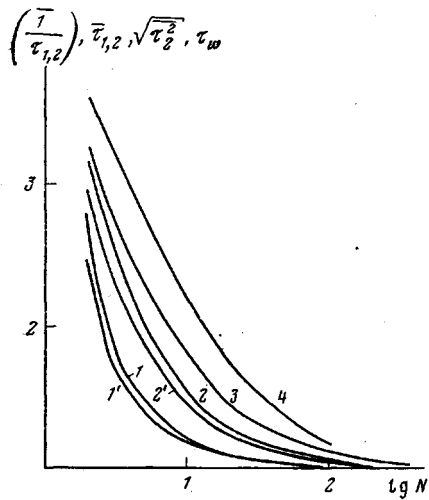


Рис. 6

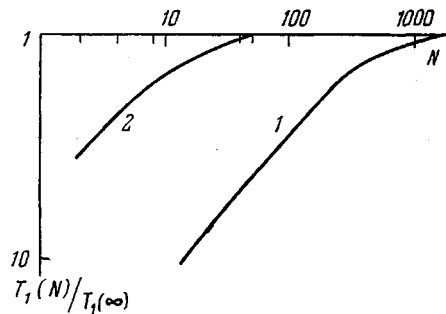


Рис. 7

Рис. 6. Отношения различных характерных времен, усредненных по всем N -элементам цепи между двумя сшивками, к характерным временам несшитой цепи в зависимости от N .
 1, 1' — $(1/\tau_1)$ и $(1/\tau_2)$ соответственно (средние обратные); 2, 2' — $\bar{\tau}_1$ и $\bar{\tau}_2$ — (средние); 3 — $\sqrt{\tau_2^2}$ (среднеквадратичное); 4 — τ_w (средневзвешенное)

Рис. 7. Зависимость $\lg[T_1(N)/T_1(\infty)]$ от $\lg N$ для сшитого полибутиадиена [3] при температуре $90,5^\circ$ (1); зависимость $\lg \frac{\bar{\tau}_2(\infty)}{\bar{\tau}_2(N)} \approx \lg \frac{T_1(N)}{T_1(\infty)}$ при $t \rightarrow \infty$ от $\lg N$, полученная в численном эксперименте (2)

$T_1(N)$ — время спин-решеточной релаксации, отвечающее N -звеньям между сшивками; $T_1(\infty)$ — соответствующее время для несшитой системы

В рассмотренной модели цепи вращение звеньев вокруг связей практически свободно. В реальных цепях вращение заторможено, что должно привести к более сильному торможению жесткой сшивки и большей протяженности действия узла на звеньях цепи. В качестве примера на рис. 7 приведена экспериментальная зависимость $1/T_1$ от числа звеньев N между сшивками для сшитого полибутиадиена [3] при высокой температуре ($90,5^\circ$). На том же рисунке представлена зависимость $1/T_1 \sim \bar{\tau}_2$ (8) от N , полученная в численном эксперименте. Видно, что экспериментально [3] тормозящее действие сшивки выражено более резко.

Таким образом, результат настоящей работы дает нижнюю границу тормозящего действия узла на локальную подвижность в сшитой конденсированной полимерной системе с жесткими сшивками. С другой стороны, для длинной и гибкой сшивки можно ожидать более слабого торможения. В связи с этим представляет интерес проведение численных экспериментов с вариацией длины и гибкости сшивки, а также кинетической гибкости цепи.

Приложение

Рассмотрим две цепи, состоящие из гауссовых пружин с коэффициентом упругости K , и бусин-центров вязкого трения с коэффициентом трения ζ (модель Каргина – Слонимского – Рауза), связанные «шивкой» – гауссовой пружиной с коэффициентом упругости K_0 . Уравнения движения для бусин, входящих в шивку, имеют вид

$$\dot{x}_0 = -\frac{K}{\zeta}(2x_0 - x_{-1} - x_1) - K_0(x_0 - y_0) \quad (10)$$

$$\dot{y}_0 = -\frac{K}{\zeta}(2y_0 - y_{-1} - y_1) - K_0(y_0 - x_0), \quad (11)$$

а для бусин, не входящих в шивку

$$\dot{x}_i = -\frac{K}{\zeta}(2x_i - x_{i-1} - x_{i+1}) \quad (12)$$

$$\dot{y}_i = -\frac{K}{\zeta}(2y_i - y_{i-1} - y_{i+1}) \quad i = \pm 1, \pm 2, \dots \quad (13)$$

Здесь x_i и y_i – координаты бусин первой и второй цепей соответственно. Отсчет ведется от бусин, входящих в шивку ($i=0$). Уравнения для координат центров масс i бусин $z_i = \frac{x_i + y_i}{2}$ получаются путем попарного сложения уравнений (10) и (11),

(12) и (13) и имеют тот же вид, что и уравнения для бусин в отдельной цепи

$$\dot{z}_i = -\frac{K}{\zeta}(2z_i - z_{i-1} - z_{i+1}) \quad i = 0, \pm 1, \pm 2, \dots \quad (14)$$

Заметим, что в уравнение для центра масс шивки ($i=0$) не входит коэффициент упругости шивки K_0 . С другой стороны, легко показать, что коэффициент трения ζ_1 центра масс i бусин (в том числе и шивки) в 2 раза больше коэффициента трения ζ отдельной бусины. Отсюда следует, что и коэффициент упругости K_1 эффективной пружины, соединяющей два соседних центра масс, в два раза больше коэффициента упругости субцепи K (поскольку в уравнении (14) входит отношение $K/\zeta = K_1/\zeta_1$). Тогда, следуя работе [7], можно показать, что временная зависимость среднего квадрата смещения центра масс частиц, входящих в шивку $\langle \Delta r_n^2(t) \rangle$ имеет вид

$$\langle \Delta r_n^2(t) \rangle = \frac{6kT_\alpha|t|}{\zeta_1} e^{-\alpha t} [I_0(\alpha|t|) + I_1(\alpha|t|)], \quad (15)$$

где $\alpha = \frac{K_1}{\zeta_1} = \frac{K}{\zeta}$, $I_0(x)$ и $I_1(x)$ – функции Бесселя от мнимого аргумента x . Поскольку выражение для $\langle \Delta r^2(t) \rangle$ для бусин в отдельной цепи (несшитой) отличается в 2 раза меньшим значением ζ , то

$$\langle \Delta r_n^2(t) \rangle = \frac{1}{2} \langle \Delta r^2(t) \rangle \quad (16)$$

Институт высокомолекулярных
соединений АН СССР

Поступила в редакцию
22 VI 1979

ЛИТЕРАТУРА

1. М. Г. Краковяк, Т. Д. Ананьева, Е. В. Ануфриева, Т. И. Некрасова, С. С. Скородов, Тезисы докладов XIX научной конференции ИВС АН СССР, 1979, стр. 46.
2. Ю. Я. Готлиб, М. И. Либшиц, В. А. Шевелев, И. С. Лишанский, И. В. Баланина, Высокомолек. соед., A20, 413, 1978.
3. T. J. Rowland, L. C. Labin, Macromolecules, 11, 466, 1978.
4. Н. К. Балабаев, А. Г. Грибцов, Э. Э. Шноль, Численные эксперименты по моделированию движения молекул, ч. III, препринт № 4, Ин-т прикладной математики АН СССР, 1972.
5. Н. К. Балабаев, Ю. Я. Готлиб, А. А. Даринский, И. М. Неелов, Высокомолек. соед., A20, 2194, 1978.

6. А. А. Даринский, И. М. Нейлов, Ю. Я. Готлиб, Н. К. Балабаев, Высокомолек. соед., А22, 123, 1980.
 7. P. G. de Gennes, Physics, 3, 37, 1967.
 8. G. Jannink, G. G. Summerfield, Fifth Symposium on Neutron Inelastic Scattering, Grenoble, 1972.
 9. Н. Н. Балабаев, Ю. Я. Готлиб, А. А. Даринский, И. М. Нейлов, Численные эксперименты по моделированию движения мономера в жидкости, НЦБИ АН СССР, НИВЦ АН СССР, Пущино, 1977.
 10. Е. В. Ануфриева, Ю. Я. Готлиб, М. Г. Краковская, С. С. Скороходов, Высокомолек. соед., А14, 1430, 1972.
 11. В. А. Шевелев, В сб. Релаксационные явления в полимерах, «Химия», 1972, стр. 55.
-

MOLECULAR DYNAMICS OF POLYMERIC CHAIN WITH A CROSS-LINK

Neyelov I. M., Darinskii A. A., Gotlib Yu. Ya., Balabayev N. K.

Summary

The behavior of polymeric chain consisting of rigid interacting units with a practically free internal rotation, has been considered using the molecular dynamics method. In the chain a slightly deformed cross-link is introduced, which length is equal to the unit length. A condensed polymeric system was considered at high temperature. The existence of the essential hindering of translational and rotational mobilities of the cross-link was shown. The hindering action of the cross-link spreads on the small number of neighboring units (1 unit for the orientational mobility and 4-8 units for the translational mobility). The results of a numerical experiment were compared with an analytical calculation for the viscoelastic model of the subchain having the cross-link and with experimental data concerning polarized luminescence with a mark being part of the cross-link. The dependences of certain averaged dynamic characteristics of cross-linked systems on the molar fraction of the cross-links were calculated.
